

# (3+ d) - МЕРНОЕ ОБОБЩЕННОЕ ОПИСАНИЕ СТРУКТУРЫ НЕКОТОРЫХ КРИСТАЛЛОВ С ( $4a \times 4a \times 4a$ ) - РЕШЕТКОЙ

Небола И.И., Иваняс А.Ф., Довка Н.Д., Шкирта И.Н.

Рассмотрены (3+1) - и (3+1+1)- мерные базисы для цепочки усложнений структуры кристаллов ОЦК-Ge-ZnS-CdF<sub>2</sub> -Cu<sub>2</sub>O. Определены векторы модуляции, модуляционные добавки к мотиву протокристала для общей схемы усложнения в ( $4a \times 4a \times 4a$ )- сверхрешетках на основе объемно- центрированной кубической решетки.

Кристаллическим образованиям кубической сингонии присуща наибольшая микроскопическая однородность и высокосимметричность. Такие почти изотропные соединения отображают баланс внутрикристаллического взаимодействия, близкий к изотропному, для них характерны наиболее простые однопараметрические элементарные ячейки [1]. Координаты атомов кристаллов кубической сингонии совпадают с узлами простой кубической решетки ( $a \times a \times a$ ), а элементарные ячейки могут рассматриваться как ( $na \times n a \times na$ ) сверхрешетки.

Выбор базиса простой кубической решетки в качестве стартового определяет параметры элементарных ячеек реальных структур как ему кратные. Так, элементарные ячейки цепочки кристаллических структур NaCl, Cu, CsCl, BaTiO<sub>3</sub>, (AuCu<sub>3</sub>) [2] являются ( $2a \times 2a \times 2a$ ), сверхрешетками на базисе ПКР.

Дальнейшее усложнение кубических кристаллов связано с дополнительным удвоением параметров элементарной ячейки и переходом к ( $4a \times 4a \times 4a$ ) решеткам, к которым относятся известные кристаллические соединения [3], координаты атомов которых совпадают с узлами ОЦК- решетки и приведены на рис.1. Все эти структуры рассматриваются, исходя из ОЦК- решетки протокристала.

## 1. (3 + 1)- мерная решетка кристаллов типа алмаза.

К наиболее простым соединениям, кристаллизующимся в решетке ( $4a \times 4a \times 4a$ ) следует отнести структуру алмаза. Традиционно эта кристаллическая структура описывается совокупностью двух ГЦК- решеток, полученных из двух стартовых атомов двухатомного мотива:

$$\rho_0(r) = m_1(0,0,0) + m_2(1,1,1) \quad (1)$$

с функцией повторения мотива на базисе

$$a_1=(2a,2a,0); a_2=(2a,0,2a); \quad a_3=(0,2a,2a), \quad (2)$$

или иными словами, как совокупность двух орбит пространственной группы Fd3m- структура с мотивом { $r_1^{(1)}, r_2^{(1)}$ } [4].

Эту же структуру можно описать как орбиту цветной пространственной группы [5]:

$$I^{(w_p)} 4^{(r)} / m^{(r)} \bar{3}2^{(r)} / m = \{4a, 4a, 4a, (a+a+a)^{(111)} 4^{(r)} / m^{(r)} \bar{3}2^{(r)} / m, \quad (3)$$

задавая для единственного стартового атома  $r^{(1)}(000)$  оператор отождествления 1 и оператор рождения-уничтожения 1'.

Анализ структуры алмаза в решетке ( $4a \times 4a \times 4a$ ) показывает, что в качестве протокристалла удобно выбрать одноатомную ОЦК- решетку [6-8]. (3+1)- мерный Ш( $r, t$ ) [5] для структуры алмаза запишем в виде:

$$\begin{aligned}
 \mathbf{a}_1 &= (\bar{\mathbf{a}}, \mathbf{a}, \mathbf{a}, -\mathbf{b}/4); \\
 \mathbf{a}_2 &= (\mathbf{a}, \bar{\mathbf{a}}, \mathbf{a}, -\mathbf{b}/4); \\
 \mathbf{a}_3 &= (\mathbf{a}, \mathbf{a}, \bar{\mathbf{a}}, -\mathbf{b}/4); \\
 \mathbf{a}_4 &= (0, 0, 0, \mathbf{b});
 \end{aligned} \tag{4}$$

с обратным базисом, определяющим вектор модуляции:

$$\begin{aligned}
 \mathbf{a}_1^* &= (0, \frac{\pi}{a}, \frac{\pi}{a}, 0); \\
 \mathbf{a}_2^* &= (\frac{\pi}{a}, 0, \frac{\pi}{a}, 0); \\
 \mathbf{a}_3^* &= (\frac{\pi}{a}, 0, \frac{\pi}{a}, 0); \\
 \mathbf{a}_4^* &= (\frac{\pi}{2a}, \frac{\pi}{2a}, \frac{\pi}{2a}, \frac{2\pi}{b}).
 \end{aligned} \tag{5}$$

и (3+1)- мерным мотивом для кристаллов типа Ge:

$$\rho_0(\mathbf{r}, \tau) = \frac{m}{2}; \tag{6}$$

$$\delta\rho(\mathbf{r}, \tau) = \frac{m}{2} [\cos(q'n + b^*\Delta n) + \sin(q'n + b^*\Delta n)], \tag{7}$$

где

$$\mathbf{q}' = \frac{\pi}{2a}, \frac{\pi}{2a}, \frac{\pi}{2a} \tag{8}$$

- вектор модуляции.

В рассматриваемом (3+1)- мерном описании присутствует вектор модуляции  $\mathbf{q}'$  (8), который входит в двухвекторную звезду, содержащую также вектор  $-\mathbf{q}'$ :

$$h_{25}\mathbf{q}' = -\mathbf{q}' \neq \mathbf{q}' + \mathbf{K}, \tag{9}$$

где  $h_j$  ( $j=25$ )- элемент симметрии в обозначениях [9].

Нетрудно видеть, что при учете выражений для векторов обратных ПКР и ОЦК-решеток выбор элементов  $h_{d_i}$  в пространстве  $V_d$  определяется условием:

$$h_j\mathbf{q}' = \mathbf{q}' + \mathbf{K} = h_{d_1}\mathbf{q}', \quad h_{d_1} = 1; \tag{10}$$

$$h_{d_1}\mathbf{q}' = -\mathbf{q}' + \mathbf{K} = 3\mathbf{q}' + \mathbf{K} = h_{d_2}\mathbf{q}', \quad h_{d_2} = -1; \tag{11}$$

Непосредственная подстановка всех элементов группы  $O_h$  позволяет выделить группу симметрии  $\Phi(q')$  вектора модуляции  $q'$ , для которой  $h_{d_1}=1$ , а для всех сопряженных элементов  $h_{d_2}=-1$ . Полный вид пар элементов группы  $\Phi(3+1)$  структуры кристаллов приведен в табл.1.

Группа  $Fd\bar{3}m$  структуры алмаза является общей подгруппой (пересечением) группы  $I\bar{m}3\bar{m}$  основного состояния и группы  $I^{(w_p)}m^{(l)}\bar{3}m$  модулирующей функции

$$\begin{aligned}
 Fd\bar{3}m &= 3\bar{m} \cap I^{(w_p)}m^{(l)}\bar{3}m \subset I\bar{m}3\bar{m} \quad \text{или} \\
 \{4\mathbf{a}_1, 4\mathbf{a}_2, 4\mathbf{a}_3, 2\mathbf{a}_2 + 2\mathbf{a}_3, 2\mathbf{a}_3 + 2\mathbf{a}_1, 2\mathbf{a}_1 + 2\mathbf{a}_2\}d\bar{3}m &= \{2\mathbf{a}_1, 2\mathbf{a}_2, 2\mathbf{a}_3, \mathbf{a}_1 + \mathbf{a}_2 + \mathbf{a}_3\}m\bar{3}m \cap \\
 \{2\mathbf{a}_1, 2\mathbf{a}_2, 2\mathbf{a}_3, (\mathbf{a}_1 + \mathbf{a}_2 + \mathbf{a}_3)^{(0,1,1,1)}\}m^{(l)}\bar{3}m.
 \end{aligned}$$

Таблица 1.

## Элементы (3+1)-структур кристаллов типа Ge

Элемент $\{R_E   V_E\}$ группы $\Phi(3)$	Вид элемента $R$	Элемент симметрии (3+1)-структуре Ge
$\{h_i   0\}$ $i=1-12, 37-48$	$h_{d_1} = 1$	$\{h_i   0\} \{h_d   0\}$
$\{h_i   0\}$ $i=13-36$	$h_{d_2} = -1$	$\{h_i   0\} \{h_d   b/2\}$

Поэтому переходу в прямом пространстве от элементарной ячейки протокристалла  $Im\bar{3}m$  к расширенной ячейке  $Fd\bar{3}m$  соответствует переход в обратном пространстве от зоны Бриллюэна ( $F$ -решетка) к суженной ЗБ ( $I$ -решетка), что является наглядной иллюстрацией взаимосвязи ЗБ основной и модулированной структуры (рис.2).

2. (3+1)-мерные мотивы кристаллов со структурой сфалерита и  $CaF_2$ .

Отличие структуры сфалерита от структуры алмаза, проявляющееся в чередовании атомов цинка и серы в позициях атомов углерода, не изменяет (3+1)-мерные функции повторения мотива  $W(r, t)$ . Базис, определенный выражениями (4), (5), и вектор модуляции (8) позволяет записать мотив кристаллов типа  $ZnS$  [8]

$$\rho_0 = (r, t) = \frac{m_1 + m_2}{4}; \quad (12)$$

$$\begin{aligned} \delta(r, t) = & \frac{m_1 - m_2}{4} \cos(2(q'n + b^*\Delta n)) + \\ & + \left[ \frac{m_1 + m_2}{4} + \frac{m_1 - m_2}{4} \cos(q'n + b^*\Delta n) \right] (\cos(q'n + b^*\Delta n) + \sin(q'n + b^*\Delta n)) \end{aligned} \quad (13)$$

Усложнение структуры кристаллов  $ZnS$  по сравнению со структурой германия выражается в наличии в (13) слагаемых, содержащих вектор модуляции  $q=2q'$ . Действительно, этот вектор образует звезду. Поэтому для описания кристаллической структуры типа  $ZnS$  необходимо включить три звезды: звезду вектора протокристалла  $\{q=0\}$ , двухвекторную звезду вектора  $\{q'\}$  и одновекторную звезду  $\{q\}=\{2q'\}$ . Включение в рассмотрение вектора  $q$  не требует трансформации действия точечных элементов  $h_{d_i}$ , однако преобразует нетривиальные трансляции  $v_{d_i}$ . Вид пар элементов группы симметрии кристалла типа  $ZnS$  приведен в табл. 2.

Таблица 2.

Пары элементов (3+1) - структуры кристаллов типа  $Zns$ 

Элемент $\{R_E   V_E\}$ группы $\Phi(3)$	Вид элемента $R$	Элемент симметрии (3+1)-структуре $ZnS$
$\{h_i   0\}$ $i=1, 4, 5, 8, 9, 12, 37, 40, 41,$ $44, 45, 48$	$h_{d_1} = 1$	$(\{h_i   0\} \{h_{d_1}   0\})$
$\{h_i   0\}$ $i=2, 3, 6, 7, 10, 11, 38, 42,$ $43, 46, 47$	$h_{d_1} = 1$	$(\{h_i   0\} \{h_{d_1}   \frac{b}{2}\})$
$\{h_i   0\}$ $i=14, 15, 18, 19, 22, 23$ $27, 30, 31, 31, 34, 35,$	$h_{d_2} = -1$	$(\{h_i   0\} \{h_{d_2}   \frac{b}{4}\})$
$\{h_i   0\}$ $i=13, 16, 17, 20, 21, 24,$ $25, 28, 29, 32, 33, 36$	$h_{d_2} = -1$	$(\{h_i   0\} \{h_{d_2}   \frac{3b}{4}\})$

Включение в  $V_d$  вектора  $b/2$  соответствует дополнительному изменению знака модуляционной функции при трансляции на вектор  $(\frac{a}{2}, \frac{a}{2}, \frac{a}{2})$ . Элементы, представленные в табл.1 и 2, определяют изоморфные группы  $O_h^s$ , состоящие из пар элементов  $\{(h_i | v_i) (h_{d_i} | v_{d_i})\}$ .

Модификация мотива, не затрагивающая функцию повторения  $W(r, \tau)$ , проявляется в структуре  $\text{CaF}_2$  (см.рис.3). Действительно, для этих кристаллов может быть выбран (3+1)- мерный мотив.

Применение базиса (4) и (5) позволяет описывать также соединения  $\text{CaF}_2$  с помощью мотива'

$$\rho_0(r, \tau) = \frac{m_1 + 2m_2}{4}, \quad (14)$$

$$\delta\rho(r, \tau) = \frac{m_1 - 2m_2}{4} \cos(2(q'n + b * \Delta n)) + \frac{m_1}{2} \cos(q'n + b * \Delta n) \quad (15)$$

Отметим, что для этой структуры, как и для многокомпонентных соединений  $\text{BaTiO}_3$  и  $\text{AuCu}_3$ , происходит разделение модуляционных функций для разных сортов атомов.

Интересно, что функция модуляции для одного сорта атомов

$$\rho_0(r, \tau) = \frac{m}{4}; \quad (16)$$

$$\delta\rho(r, \tau) = \frac{m}{4} \cos(2(q'n + b * \Delta n)) + \frac{m}{2} \cos(q'n + b * \Delta n) \quad (17)$$

описывает ГЦК в (4a x 4a x 4a)- решетке и выражает трансформацию ОЦК-решетки в ГЦК, определяя масштабные  $a\sqrt{3} \rightarrow a\sqrt{8}$  и ориентационные ( $\phi=45^\circ; \psi=0; \theta=0$ ) преобразования однородного пространства кубической сингонии.

### 3. (3+1)- мерная структура кристаллов $\text{Cu}_2\text{O}$

Рассмотренные примеры (4a x 4a x 4a) структур базировались на ОЦК-решетке, что однако не исчерпывает всех возможных вариантов рассмотрения. Так, анализ кристаллов со структурой  $\text{Cu}_2\text{O}$  показывает, что для их сверхпространственного описания необходима значительно более сложная конструкция функции повторения мотива  $W(r, \tau)$ .

Как видно из рис.1 структура  $\text{Cu}_2\text{O}$  является наиболее "рыхлой" из (4ax4ax4ax) - решеток. Нетрудно видеть, что она может быть получена как суперпозиция трех (4ax4ax4ax) - структур: ( $\text{ZnS}$  + ОЦК - ГЦК). Действительно, добавление к структуре  $\text{ZnS}$  атомов в позициях (2a,2a,2a) за счет модуляционной функции ОЦК - решетки и их изъятие в точках (2a,2a,0) - за счет ГЦК - решетки-приводит к правильному описанию кристаллической структуры  $\text{Cu}_2\text{O}$ .

(4ax4ax4ax) - структура  $\text{ZnS}$  и ГЦК - решетки определена выражениями (12), (13), (16), (17). Поэтому необходимо рассмотреть еще возможность описания (4ax4ax4ax) ОЦК - решетки.

Переход между однотипными элементарными ячейками протокристала к реальной структуре связан с расширением размерности дополнительного пространства  $V_d$ . В данном случае возможен переход к (3+1+3) - мерному и обратному ему базису:

$$\alpha_1 = (\bar{\alpha}, \alpha, \alpha, -b/4, -c/2, 0, 0); \quad \alpha_1^* = (0, \pi/\alpha, \pi/\alpha, 0, 0, 0, 0); \quad (18)$$

$$\alpha_2 = (\alpha, \bar{\alpha}, \alpha, -b/4, 0, -c/2, 0); \quad \alpha_2^* = (\pi/\alpha, 0, \pi/\alpha, 0, 0, 0, 0); \quad (18)$$

$$\alpha_3 = (\alpha, \alpha, \bar{\alpha}, -b/4, 0, 0, -c/2); \quad (18)$$

$$\alpha_3^* = (\pi/\alpha, \pi/\alpha, 0, 0, 0, 0, 0); \quad (19)$$

$$\alpha_4 = (0, 0, 0, b, 0, 0, 0); \quad \alpha_4^* = (\pi/2\alpha, \pi/2\alpha, \pi/2\alpha, 2\pi/b, 0, 0, 0); \quad (19)$$

$$\begin{aligned}\alpha_5 &= (0,0,0,0,c,0,0); & \alpha_5^* &= (0,\pi/2\alpha,\pi/2\alpha,0,\pi/2c,0,0); \\ \alpha_6 &= (0,0,0,0,0,c,0); & \alpha_6^* &= (\pi/2\alpha,0,\pi/2\alpha,0,\pi/2c,0); \\ \alpha_7 &= (0,0,0,0,0,0,c); & \alpha_7^* &= (\pi/2\alpha,\pi/2\alpha,0,0,0,\pi/2c).\end{aligned}$$

В этом случае в рассмотрение наряду со звездой вектора модуляции  $q^*$  (8) необходимо включить и звезду вектора модуляции:

$$\begin{aligned}q'_1 &= (0,\pi/2\alpha,\pi/2\alpha); q'_2 = (\pi/2\alpha,0,\pi/2\alpha); q'_3 = (\pi/2\alpha,\pi/2\alpha,0); \\ q'_4 &= (0,\bar{\pi}/2\alpha,\pi/2\alpha); q'_5 = (\bar{\pi}/2\alpha,0,\pi/2\alpha); q'_6 = (\bar{\pi}/2\alpha,\pi/2\alpha,0).\end{aligned}\quad (20)$$

Отметим, что звезда векторов модуляции (20) не включает эквивалентные векторы

$$h_{23}q'_i = -q'_i = q'_i + K_i \quad (21)$$

Наиболее простая функция модуляции содержит только векторы  $q'_i$  и имеет вид:

$$\delta\rho(r, \tau) = \frac{m}{8} \sum_{i=1}^6 \cos(q'_i n - b_i^* \Delta n), \quad (22)$$

а в сочетании с мотивом протокристалла

$$\rho_0(r, \tau) = \frac{m}{4} \quad (23)$$

приводит к некоторой гипотетической структуре с кратным отношением масс атомов в различных позициях ОЦК-решетки. Реализация такой структуры проблематична в связи с трудностью осуществления точной кратности атомных масс, участвующих в создании кристалла.

Для получения структуры  $\text{Cu}_2\text{O}$  интересной оказывается функция модуляции

$$\delta\rho(r, \tau) = \frac{m}{8} \sum_{i=1}^6 \cos(q'_i n - b_i^* \Delta n) + \frac{3m}{8} \cos(2(q'_i n - b_i^* \Delta n)) + \frac{m}{2} \cos(q'_i n - b_i^* \Delta n) \quad (24)$$

с мотивом протокристалла

$$\rho_0(r, \tau) = \frac{3m}{8}, \quad (25)$$

являющееся суперпозицией ОЦК + ГЦК ( $4\text{ax}4\text{ax}4\text{ax}$ ) -решеток. Для этой структуры также характерна кратность отношений масс атомов в различных позициях, что является важным этапом в формировании  $\text{Cu}_2\text{O}$ . Действительно, к этой конструкции модуляционных функций, описывающих  $\text{ZnS}$ , со следующим набором масс атомов:  $\text{Zn} \rightarrow -m(0)$ , а  $\text{S} \rightarrow m_2(\text{Cu})$  приводит к мотиву протокристалла

$$\rho_0(r, \tau) = \frac{2m_2 + m_1}{8}, \quad (26)$$

соответствующему усредненной массе элементарной ячейки, а функция модуляции может быть записана в виде:

$$\begin{aligned}\delta\rho(r, \tau) &= \frac{m_1}{8} \sum_{i=1}^6 \cos(q'_i n + b_i^* \Delta n) + \frac{-2m_2 + m_1}{8} \cos(2(q'_i n + b_i^* \Delta n)) + \\ &\quad \frac{m_1}{2} \cos(q'_i n + b_i^* \Delta n) + \left[ \frac{m_2 - m_1}{4} - \frac{m_2 + m_1}{4} \cos(2(q'_i n + b_i^* \Delta n)) \right] \\ &\quad \left( \cos(q'_i n + b_i^* \Delta n) + \sin(q'_i n + b_i^* \Delta n) \right)\end{aligned}\quad (27)$$

Отметим существенное усложнение модуляционной функции (27) по сравнению с описанием  $\text{CaF}_2$  (15), что вызвано необходимостью включения в рассмотрение звезды

вектора  $q'_i$ , разделения различных видов модуляционных функций для разных атомов, при этом позиции атомов остаются позициями атомов ОЦК ( $2ax \times 2ax \times 2a$ ) - решетки.

Заключение. В рамках сверхпространственно-групповой концепции получен  $(3+3+1)$  - мерный базис, позволяющий описать структуру кристаллов с  $(4ax \times 4ax \times 4ax)$ -решеткой, рассмотрены возможные трансформации обратного пространства.

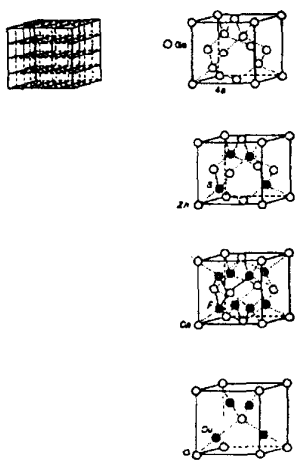


Рис. 1. Основные типы кубических структур, реализующихся как  $(4ax \times 4ax \times 4a)$ -решетки.

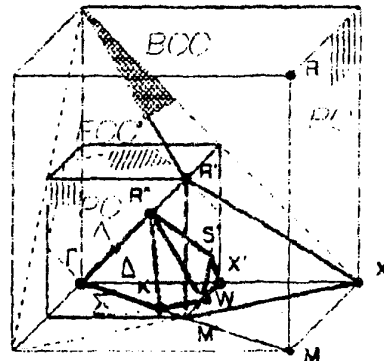


Рис. 2. Этапы трансформации зоны Бриллюэна протокристалла в ЗБ алмаза. (Большой куб представляет  $1/8$  часть ЗБ ПКР; многогранник с вершинами  $\Gamma R' X M'$  представляет  $1/16$  часть ЗБ ОЦК. Толстыми линиями выделена  $1/16$  часть ЗБ структуры алмаза).

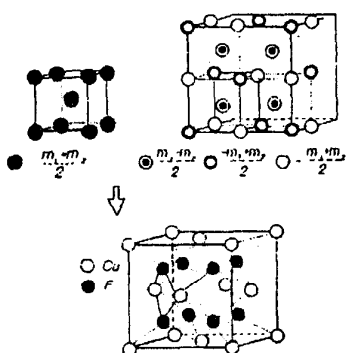


Рис. 3. Схематическое плоское изображение мотива кристаллов типа  $\text{CaF}_2$  по схеме  $\text{ZnS} + \text{OЦК} + \text{ГЦК}$   $(4ax \times 4ax \times 4a)$ -решеток.

## ЛИТЕРАТУРА

- Современная кристаллография, т.2 - М.:Наука, 1979.-С.359.
- Небола И.И., Иваняк А.Ф., Довка Н.Д., Шкирта И.Н. Структура и динамика решетки кристаллов титаната бария в концепции сверхпространственной симметрии / Тезисы докладов V Всесоюзной школы семинара по физике сегнетоэластиков. Ужгород, 1991.-С.23.
- Ормонт Б.Ф. Введение в физическую химию и кристаллохимию полупроводников.-М.:Высшая школа, 1982.-С.528.
- Шаскольская М.П. Кристаллография.-М.:Высшая школа, 1976. - С.390.
- Небола И.И., Хархалис Н.Р., Копчик В.А. Динамика решетки алмазоподобных кристаллов в концепции сверхпространственной симметрии /ФТТ, 1990, т.32, N4.- С.972-979.
- Nebola I.I. Lattice dynamics of complex crystals in the superspace symmetry concept / Collected Abstracts XII European crystallographic Meeting, 1989, v.1. p.395.7.
- Небола И.И., Хархалис Н.Р., Копчик В.А. Дисперсия фононного спектра сложных кристаллов типа NaCL в концепции сверхпространственной симметрии / ФТТ, 1987, т.29, N 11.- С.3223-3232.

8. Иваняс А.Ф., Небола И.И., Шкирта И.Н., Хархалис Н.Р. Расчет дисперсии фононных ветвей сложных полупроводников в концепции сверхпространственной симметрии / Полупроводниковые материалы и устройства на их основе для оптоэлектроники: Сб.науч.трудов.-Киев, 1991.- С.12-21.

9. Ковалев О.В. Неприводимые представления пространственных групп, Изд-во АН Украинской ССР-Киев, 1961.-С.153.

## РЕЗЮМЕ

Розглянуті  $(3+1)$  - і  $(3+1+1)$  -вимірні базисы для ланцюжка ускладнень структури кристаллів ОЦК-Ge-ZnS-CdF<sub>2</sub>-Cu<sub>2</sub>O. Визначені вектори модуляції, модуляційні доданки до мотиву протокристала в загальній схемі ускладнення в  $(4a \times 4a \times 4a)$  - надгратках на основі об'ємно-центральної кубічної гратки.

## SUMMARY

The crystal structure complication in the chain BCC- GeZnS- CdF<sub>2</sub> - Cu<sub>2</sub>O are considered. The  $(3+1)$ - and  $(3+1+1)$  - dimensional bases are presented. The modulation vectors and modulation additions to the protocrystal motive at the  $(4ax4ax4a)$ -superlattices by the body centered cubic lattice base are defined.